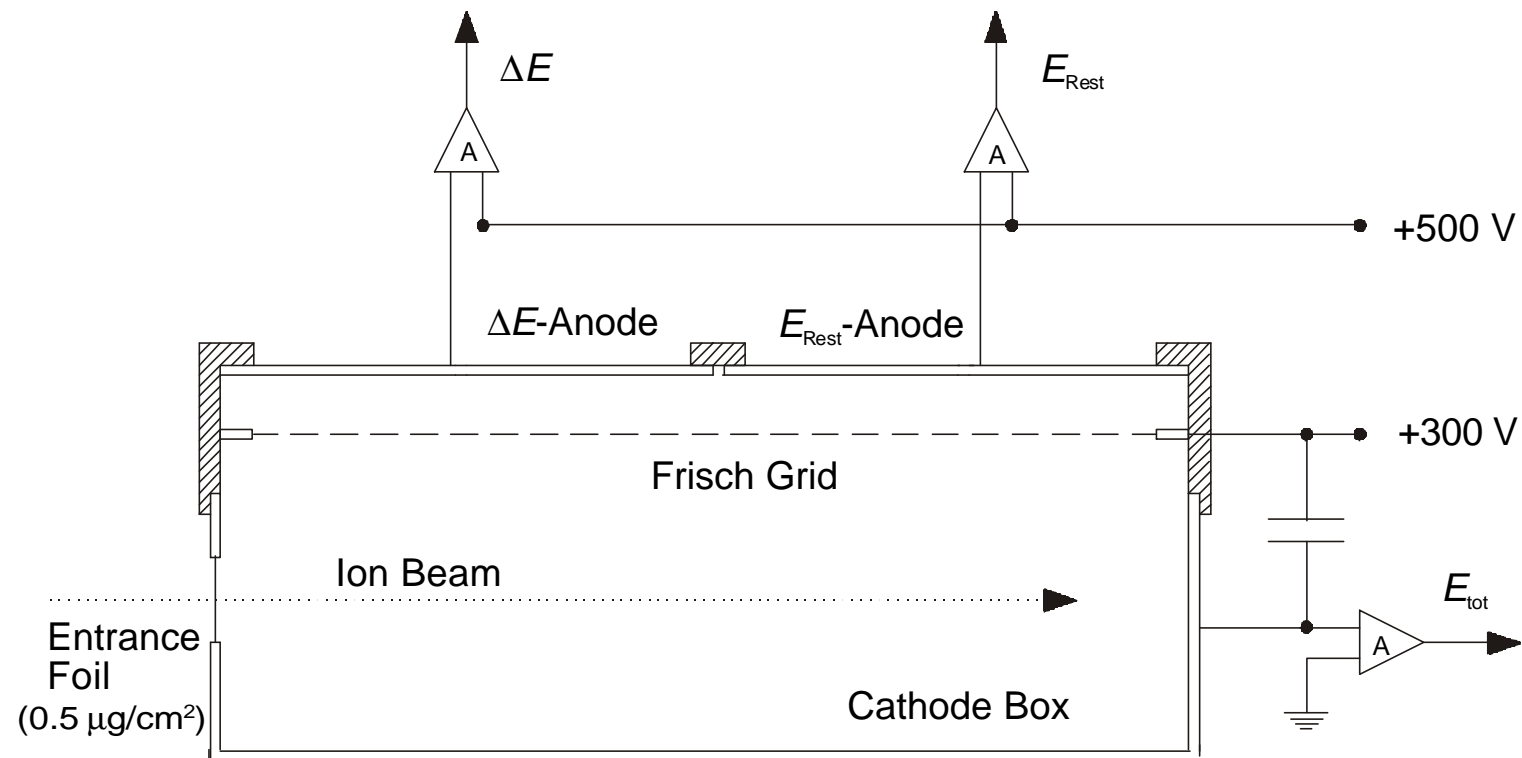
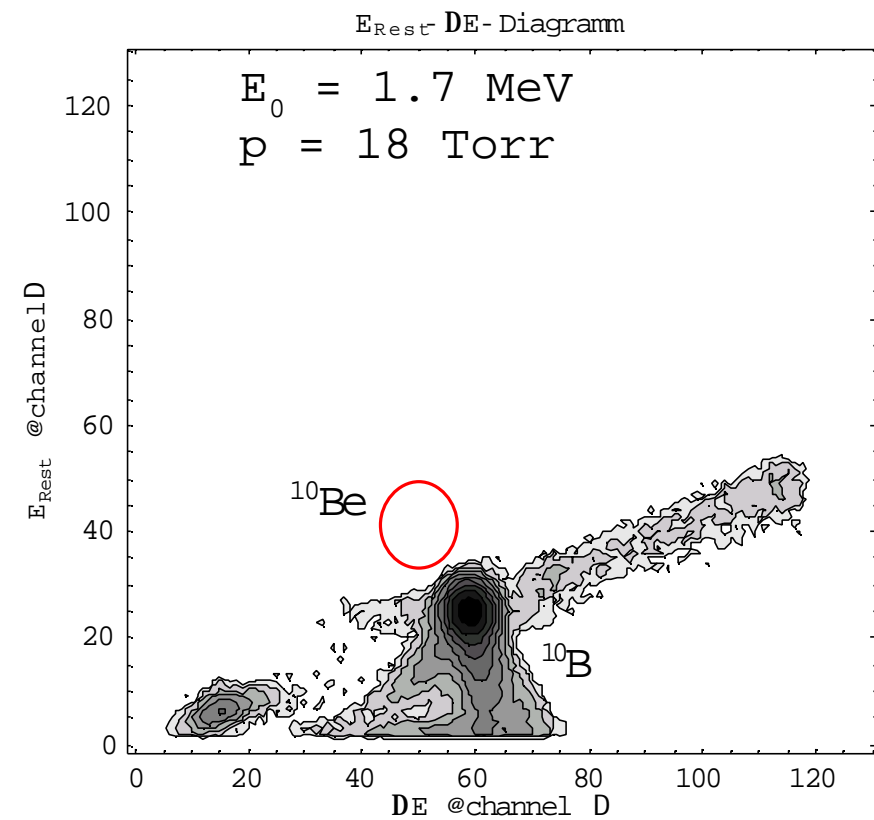
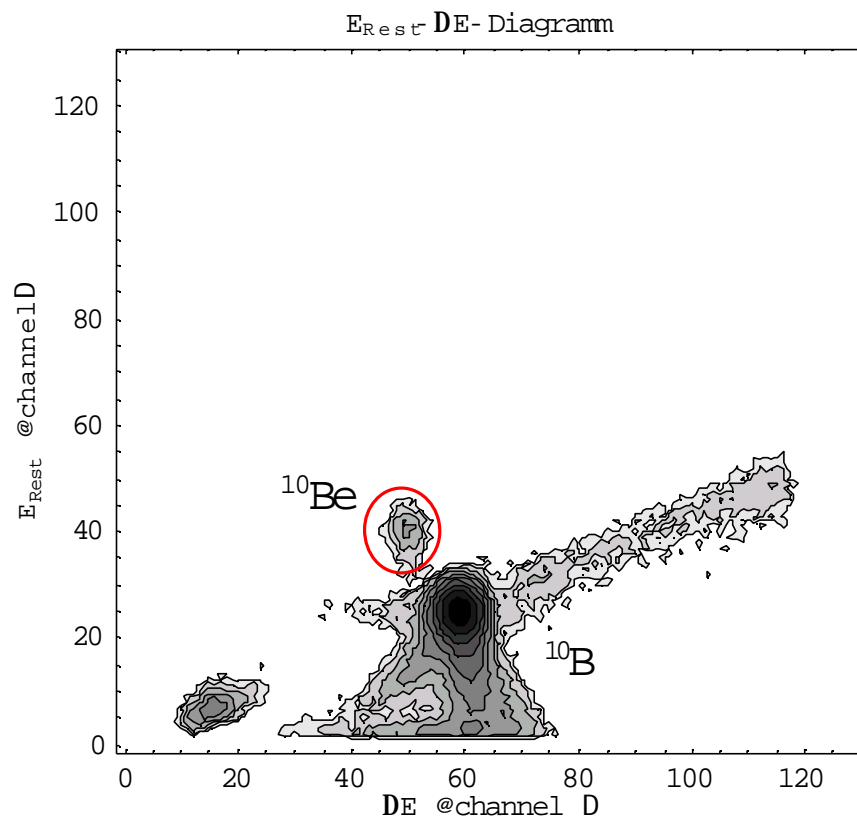


## $\Delta E/E$ -Gas-Ionisation-Detector

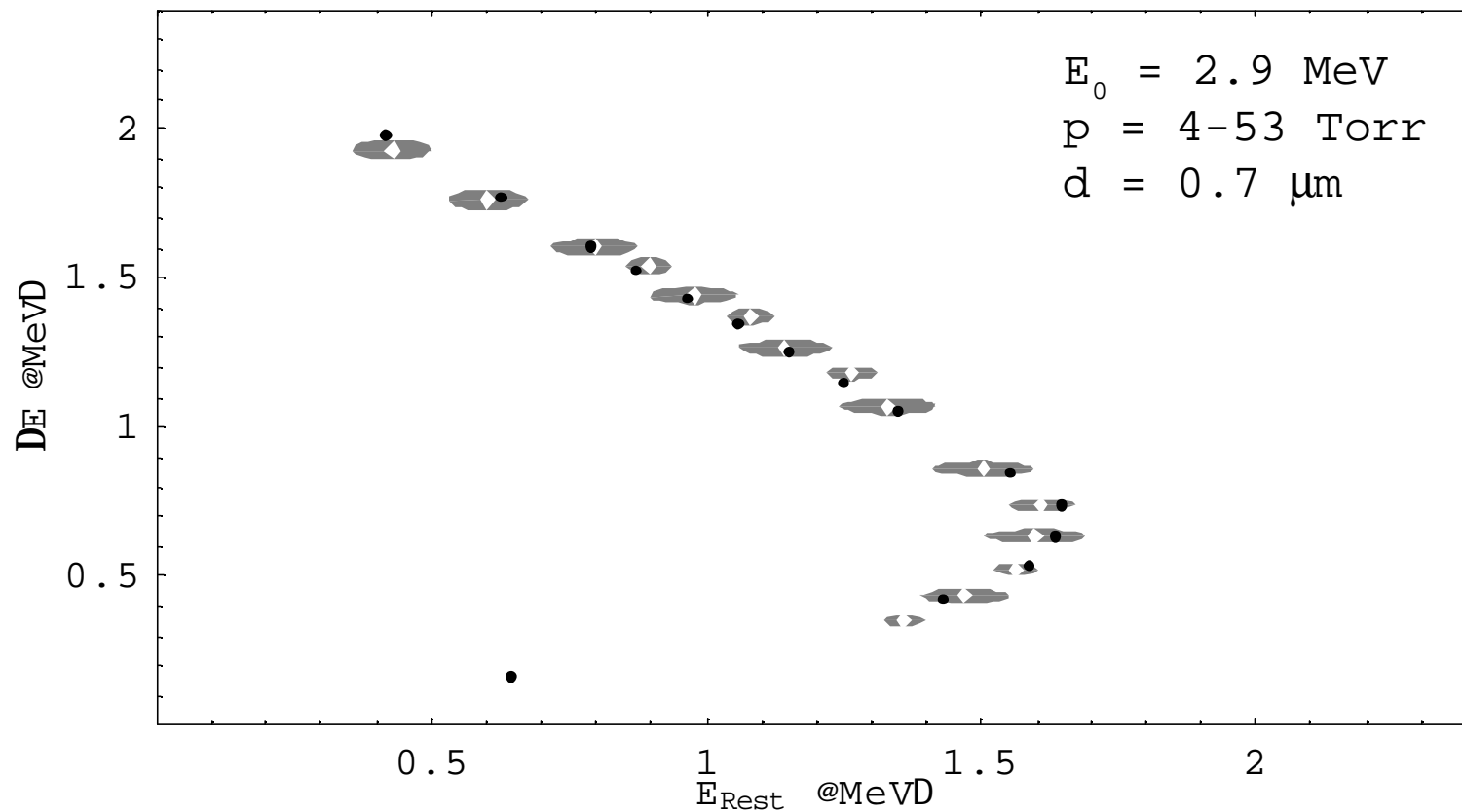


# Messung des Unterdrückungsfaktors von $^{10}\text{B}$ gegenüber $^{10}\text{Be}$

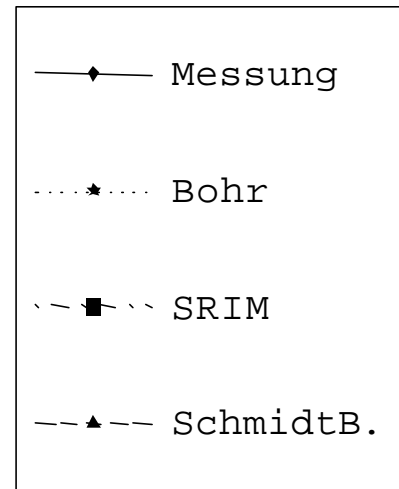
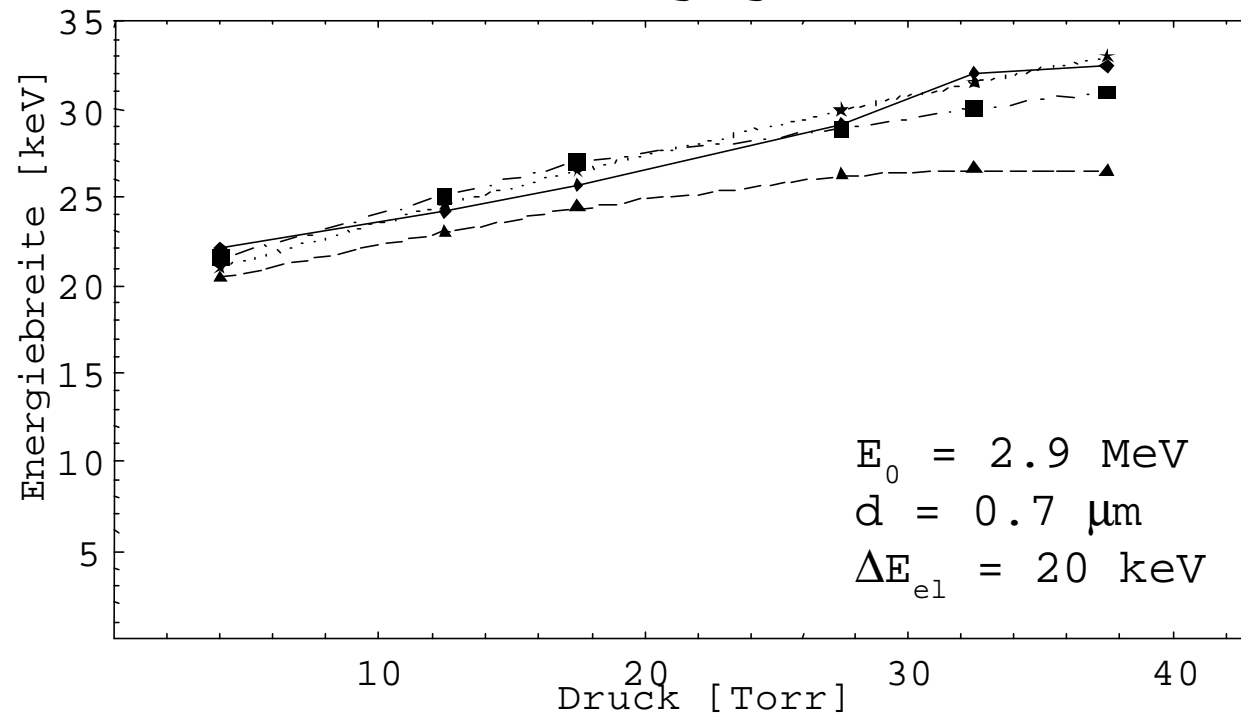


## Position des Bor-Peaks als Funktion des Druckes

$E_{\text{Rest}}$  - DE- Diagramm



Vergleich des Energie-Stragglings am  $\Delta E$ -Signal  
unter Berücksichtigung des elektronischen Rauschens

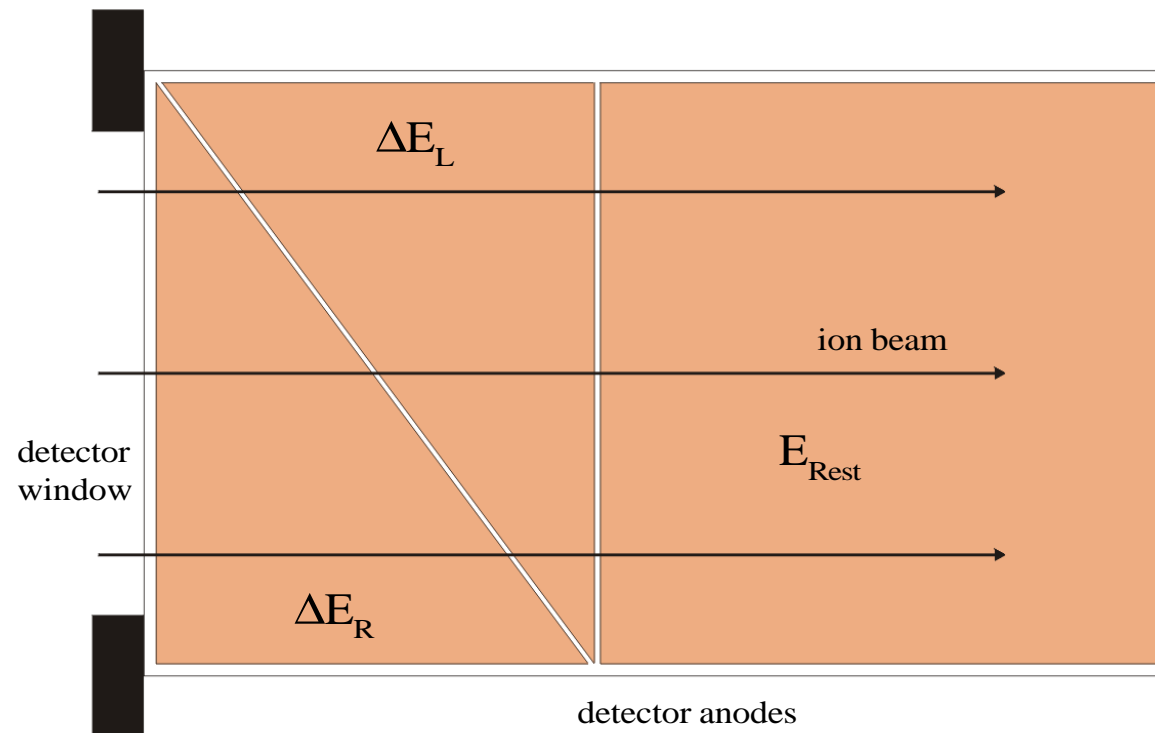


## x-position measurement in theory

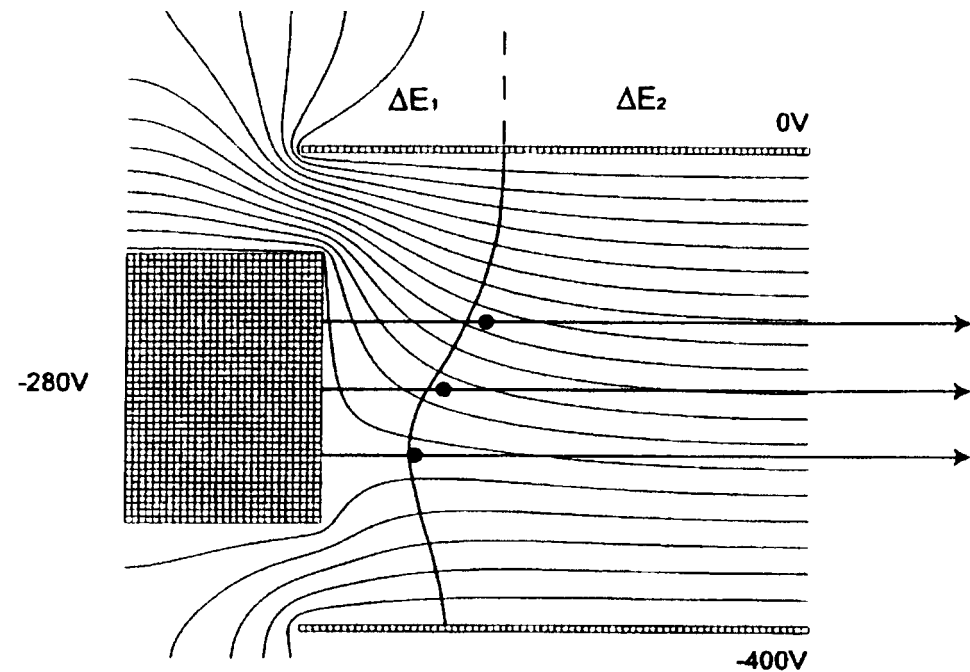
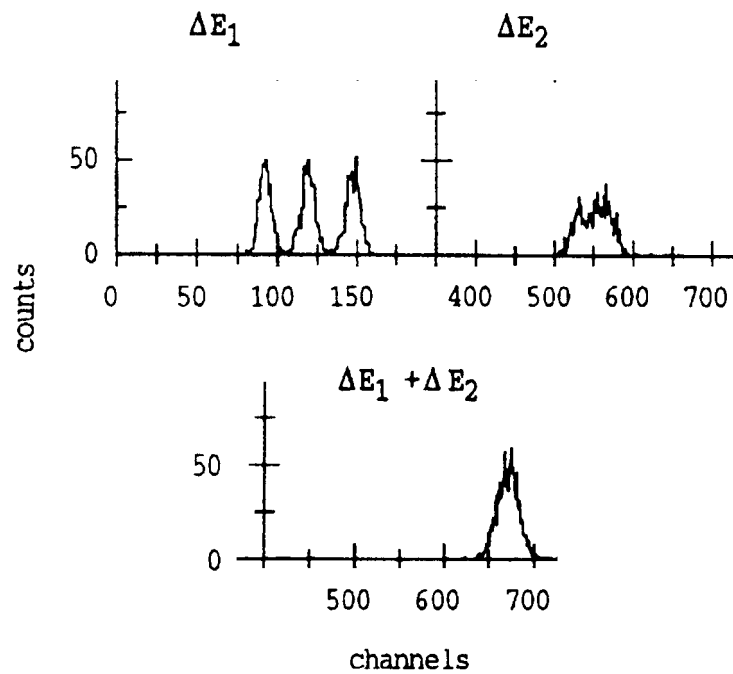
x-position is  
calculated from:

$$\frac{(\Delta E_L - \Delta E_R)}{(\Delta E_L + \Delta E_R)}$$

76 mm



## Effects that have to be taken into account...



from T.R. Ophel et al. / Nucl. Instr. and Meth. in Phys. Res. A 423 (1999), p. 381